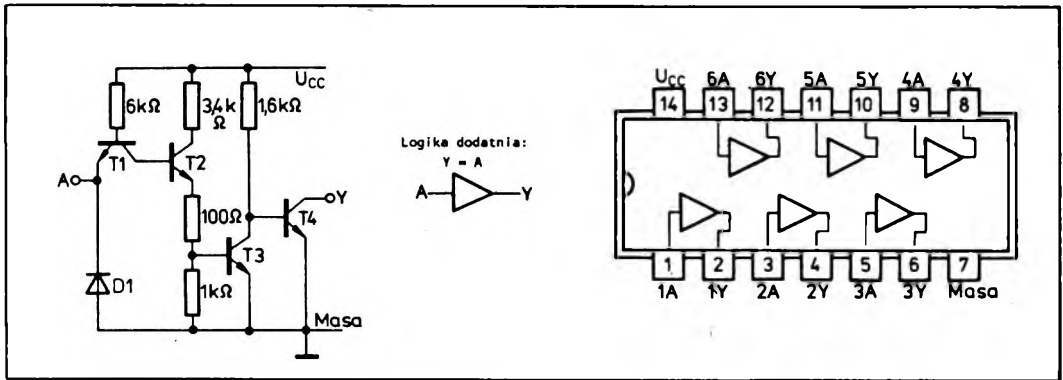


2.1.3.1. Sześciokrotne wzmacniacze buforowe z otwartym kolektorem tranzystora wyjściowego: UCA6407N, UCA6417N, UCY7407N, UCY7417N



Monolityczny układ scalony: UCA6407N lub UCA6417N, UCY7407N lub UCY7417N zawiera sześć buforowych wzmacniaczy cyfrowych z wysokonapięciowym otwartym obwodem kolektora tranzystora wyjściowego.

Wzmacniacze cyfrowe realizują funkcję $Y = A$. Układy UCA6407N i UCY7407N zawierają wzmacniacze, dla których maksymalne dopuszczalne napięcie, przyłożone do wyjścia wynosi $U_o = 30$ V.

Układy UCA6417N i UCY7417N zawierają wzmacniacze, dla których maksymalne dopuszczalne napięcie przyłożone do wyjścia wynosi $U_o = 15$ V.

Jeżeli na wejściu wystąpi stan niski (0), to przewodzi z nasyceniem tranzystor $T1$, tranzystory $T2$ i $T3$ są odcięte co powoduje przewodzenie z nasyceniem tranzystora wyjściowego $T4$. Jeżeli natomiast na wejściu wystąpi stan wysoki (1), to tranzystor $T1$

znajduje się w obszarze pracy inwersyjnej. Prąd płynący od źródła zasilania przez rezystor 6 k Ω i złącza baza-kolektor tranzystora $T1$ wprowadza w stan przewodzenia z nasyceniem tranzystory $T2$, $T3$ i odcięcia tranzystor wyjściowy $T4$.

Dla rezystancji obciążającej $R_L = 110$ Ω czas propagacji sygnału do stanu niskiego na wyjściu ($t_{PHL} \leq 30$ ns) jest znacznie dłuższy od czasu propagacji sygnału do stanu wysokiego na wyjściu ($t_{PLN} \leq 10$ ns). Główną przyczyną opóźnienia przy zmianie stanu z wysokiego na niski jest stosunkowo wolne rozładowanie pojemności bazy tranzystora $T3$ przez rezystancję 1 k Ω oraz ładowanie pojemności wężła: kolektor $T3$ i baza $T4$, przez rezystancję $1,6$ k Ω .

Układy UCA6407N, UCA6417N, UCY7407N i UCY7417N są produkowane w obudowach plastikowych A49B(CE70).

Parametry dynamiczne przy $U_{CC} = 5$ V, $t_{amb} = 25^\circ$ C

Parametry		Wartość		Jednostki	Warunki pomiaru	Układ pomiarowy
Nazwa	Symbol	typ	max			
Czas propagacji sygnału do stanu niskiego na wyjściu	t_{PHL}	20	30	ns	$R_L = 110$ Ω	G
Czas propagacji sygnału do stanu wysokiego na wyjściu	t_{PLN}	6	10		$C_L = 15$ pF	

Zalecane warunki pracy

Parametry		Wartość			Jednostki	
Nazwa	Symbol	min	nom	max		
Napięcie zasilania		U_{CC}	4,75	5,0	5,25	V
Prąd wyjściowy w stanie niskim		I_{OL}	40			mA
Obciążenie wnoszone przez wejście			1			s.o.l.
Zakres temperatury otoczenia	UCA6407N UCA6417N	t_{amb}	-40	85		°C
	UCY7407N UCY7417N		0	70		

Wartości dopuszczalne parametrów

Parametry		Wartość		Jednostki	
Nazwa	Symbol	min	max		
Napięcie zasilania		U_{CC}	7		V
Napięcie wejściowe		U_I	5,5		V
Napięcie wyjściowe ¹⁾	UCA6407N UCY7407N	U_{OH}	30		V
	UCA6417N UCY7417N		15		
Ujemny prąd wyjściowy		$-I_I$	12		mA
Zakres temperatury przechowywania		t_{sto}	-55	125	°C

¹⁾ Napięcie przyłożone do wyjścia w stanie wysokim

Parametry statyczne

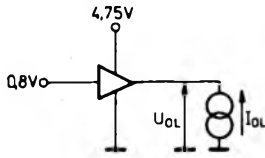
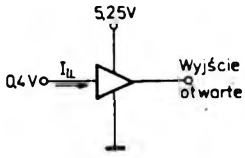
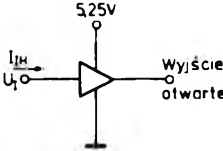
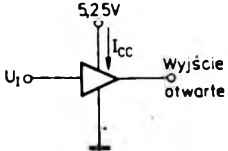
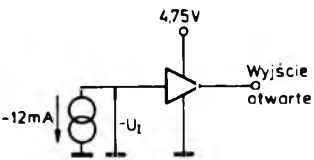
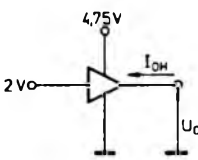
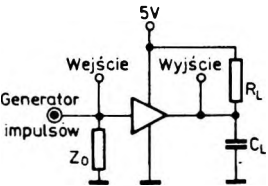
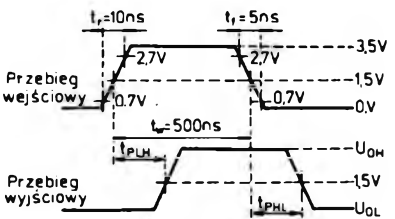
(Jeżeli nie podano inaczej — w pełnym zakresie temperatury otoczenia)

Parametry		Wartość		Jednostki	Warunki pomiaru		Układ pomiarowy
Nazwa	Sym-bol	min	typ ¹⁾ max				
Napięcie wejściowe w stanie niskim	U_{IL}	0,8		V			
Napięcie wejściowe w stanie wysokim	U_{IH}	2		V			
Ujemne napięcie wejściowe	$-U_I$	1,5		V	$U_{CC} = 4,75 \text{ V}$ $I_I = -12 \text{ mA}$ $t_{amb} = 25^\circ\text{C}$		E
Prąd wejściowy w stanie niskim	I_{IL}	-1,6		mA	$U_{CC} = 5,25 \text{ V}$ $U_I = 0,4 \text{ V}$		B
Prąd wejściowy w stanie wysokim	I_{IH}	40		μA	$U_{CC} = 5,25 \text{ V}$; $U_I = 2,4 \text{ V}$		C
		1		mA	$U_{CC} = 5,25 \text{ V}$; $U_I = 5,5 \text{ V}$		
Napięcie wyjściowe w stanie niskim	U_{OL}	0,2	0,4	V	$I_{OL} = 16 \text{ mA}$	$U_{CC} = 4,75 \text{ V}$ $U_I = 0,8 \text{ V}$	A
		0,7			$I_{OL} = 40 \text{ mA}$		
Prąd wyjściowy w stanie niskim	I_{OL}	40		mA	$U_{OL} < 0,7 \text{ V}$		
Prąd wyjściowy w stanie wysokim	UCA6407N UCY7407N	250		μA	$U_O = 30 \text{ V}$	$U_{CC} = 4,75 \text{ V}$ $U_I = 2 \text{ V}$	F
	UCA6417N UCY7417N	250			$U_O = 15 \text{ V}$		
Prąd zasilania w stanie	niskim	I_{CCL}	21	30	mA	$U_I = 0 \text{ V}$ $U_{CC} = 5,25 \text{ V}$	D
	wysokim	I_{CCH}	29	41			

1) Wartości typowe podane są przy $U_{CC} = 5 \text{ V}$, $t_{amb} = 25^\circ\text{C}$

2.1.3.2. Układy pomiarowe wzmacniaczy cyfrowych

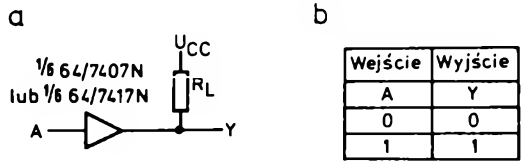
Pomiary parametrów statycznych i dynamicznych

 <p>Układ pomiarowy A. Pomiar U_{OL}</p>	 <p>Układ pomiarowy B. Pomiar I_{iL}</p>
 <p>Układ pomiarowy C. Pomiar I_{IH} Pomiary I_{IH} przeprowadze się dla:</p> <ol style="list-style-type: none"> $U_I = 2,4 \text{ V}$ $U_I = 5,5 \text{ V}$ 	 <p>Układ pomiarowy D. Pomiar I_{CC} Pomiary wykonuje się dla wszystkich wzmacniaczy jednocześnie. Przy pomiarze I_{CCL} przyłożyć do wejścia $U_I = 0 \text{ V}$ Przy pomiarze I_{CCH} przyłożyć do wejścia $U_I = 5 \text{ V}$</p>
 <p>Układ pomiarowy E. Pomiar $-U_I$</p>	 <p>Układ pomiarowy F. Pomiar I_{OH}</p>
 <p>Układ pomiarowy G. Pomiar parametrów dynamicznych</p>	 <p>Przebiegi określające pomiary parametrów dynamicznych</p>
<p>Uwagi: 1. Parametry impulsów wejściowych: amplituda $U = 3 \text{ V}$, poziom podstawy 0 V, czas trwania $t_w = 500 \text{ ns}$, częstotliwość $f = 1 \text{ MHz}$, czas narastania $t_r = 10 \text{ ns}$, czas opadania $t_f = 5 \text{ ns}$.</p> <p>2. Impedancja wyjściowa generatora $Z_0 = 50 \Omega$</p> <p>3. Wartość C_L uwzględnić pojemność sondy i pojemność montażu.</p> <p>4. Każdy wzmacniacz jest mierzony oddzielnie.</p>	

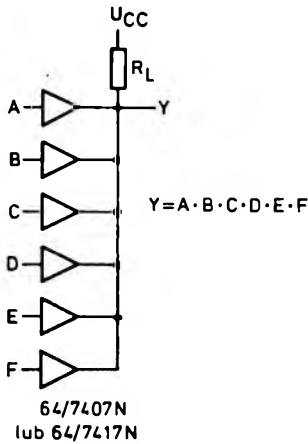
2.1.3.3. Typowe zastosowania wzmacniaczy cyfrowych

Przykłady realizacji funkcji logicznych

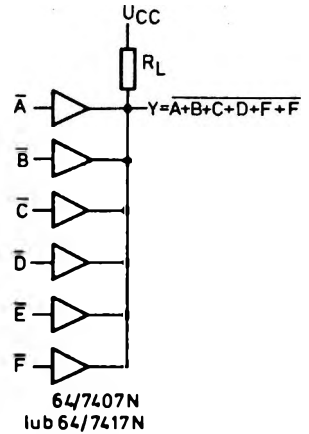
W niektórych obwodach urządzeń lub systemów niepożądana jest funkcja negacji, natomiast występuje konieczność wzmocnienia sygnałów logicznych. Element wzmacniacza logicznego w układzie przedstawionym na rys. 2.63 realizuje funkcję wzmocnienia logicznego $Y = A$. Konfiguracja stopnia wyjściowego wzmacniacza logicznego umożliwia łączenie wyjść kilku elementów w celu realizacji innych funkcji



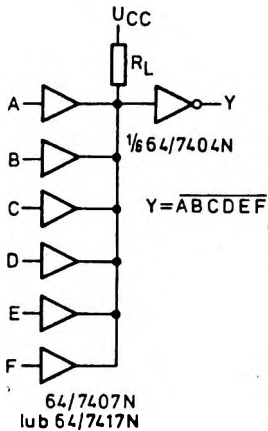
Rys. 2.63. Układ wzmacniacza logicznego
a — schemat ideowy, b — tabela wartości



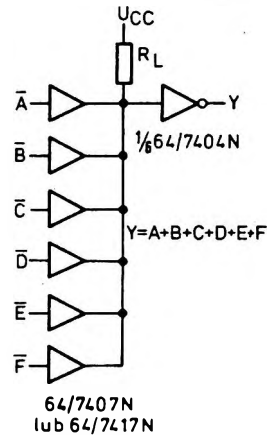
Rys. 2.64. Układ realizujący funkcję iloczynu zmiennych wejściowych



Rys. 2.66. Układ realizujący funkcję negacji sumy LUB-NIE



Rys. 2.65
Układ realizujący funkcję negacji iloczynu zmiennych wejściowych



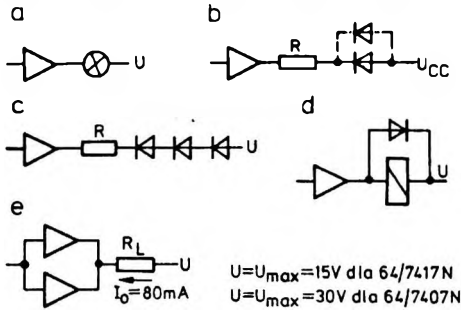
Rys. 2.67. Układ realizujący funkcję sumy (LUB)

logicznych. Na rysunku 2.64 przedstawiono układ realizujący funkcję iloczynu zmiennych wejściowych I . Wprowadzając na wyjście powyższego układu inwerter można otrzymać układ realizujący funkcję negacji iloczynu zmiennych wejściowych I -NIE (rys. 2.65).

Jeżeli dostępne są stany zanegowane zmiennych wejściowych, to wprowadzając te stany na wejście układu logicznego złożonego ze wzmacniaczy logicznych (rys. 2.66) można otrzymać wielowejsciowy funkktor realizujący funkcję negacji sumy LUB-NIE.

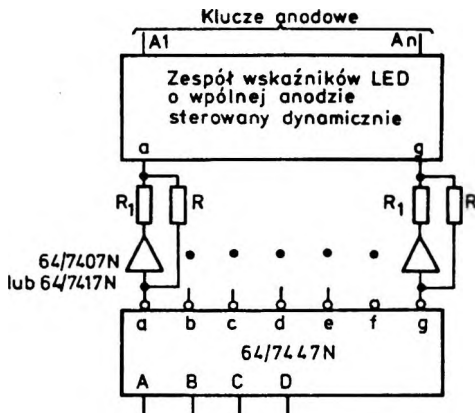
Wprowadzając negację na wyjście układu LUB-NIE (rys. 2.67) można otrzymać wielowejsciowy układ realizujący funkcję sumy zmiennych wejściowych.

Wartości rezystancji R_L można wyznaczyć według zależności stosowanych dla bramek z otwartym obwodem kolektora tranzystora wyjściowego



Rys. 2.68. Przykłady zastosowania buforowych wzmacniaczy logicznych z otwartym obwodem kolektora

a — układ sterowania żarówką, b i c — układy sterowania diodami świecącymi, d — układ sterowania przekaźnikiem, e — połączenie wzmacniaczy dla zwiększenia prądu wyjściowego



Rys. 2.69. Układ kluczy segmentowych do sterowania wskaźników cyfrowych o wspólnej anodzie

$$R_{L \max} = \frac{U_{cc} - U_{OH \min}}{n \cdot I_{OH} + N \cdot I_{IH}}; \quad R_{L \min} = \frac{U_{cc} - U_{OL \max}}{I_{OL \max} - N \cdot I_{IL}}$$

gdzie:

n — liczba wyjść wzmacniaczy wspólnie dołączonych do rezystora R_L

N — liczba wejść bramek dołączonych. Wartość nominalną rezystancji R_L należy wybrać spośród wartości $R_{L \min} \div R_{L \max}$ i biorąc pod uwagę ograniczenia mocy zasilania z jednej strony i czasu propagacji sygnału z drugiej strony.

Cechą charakterystyczną wzmacniaczy logicznych 64/7407N i 64/7417N jest podwyższone napięcie kolektor-emiter tranzystora wyjściowego. Dzięki temu obciążenie układu (R_L) można dołączyć do odpowiednio wyższego napięcia ($U = 30V$ dla wzmacniaczy 64/7407N i $U = 15V$ dla wzmacniaczy 64/7417). Cecha ta umożliwiła stosowanie tego typu wzmacniaczy do sterowania układów o wyższych poziomach napięć wejściowych (układy MOS lub DZTL) lub elementów biernych wymagających dostarczenia większej mocy sterowania.

Układy sterowania elementami wykonawczymi

Układy wzmacniaczy logicznych z wysokonapięciowym otwartym obwodem kolektora znajdują szerokie zastosowanie do sterowania biernymi elementami wykonawczymi, takimi jak: żarówki, diody świecące i przekaźniki. Na rysunku 2.68 przedstawiono kilka przykładów zastosowania wzmacniaczy typu 64/7407N lub 64/7417N do sterowania elementów biernych.

Jeżeli element wymaga dużego prądu sterowania, to należy łączyć równolegle dwa lub więcej wzmacniaczy logicznych (rys. 2.68e). W urządzeniach cyfrowych jest szeroko stosowany dynamiczny sposób sterowania wskaźników półprzewodnikowych, wymagający zapewnienia dużej wartości prądu dla włączonego segmentu. Ponieważ dla wskaźników wielocyfrowych o większych wymiarach wartość prądu wyjściowego wprost z dekodera jest zbyt mała więc zachodzi potrzeba użycia dodatkowych kluczy segmentowych. Na rysunku 2.69 przedstawiono fragment układu dynamicznego sterowania półprzewodnikowymi wskaźnikami cyfrowymi z zastosowaniem wzmacniaczy logicznych 64/7407N lub 64/7417N jako dodatkowych kluczy segmentowych. Rezystancja R ogranicza prąd płynący wprost z segmentu do dekodera, a rezystancja R_1 — prąd płynący z segmentu do dodatkowego klucza. Maksymalny prąd wyjściowy klucza dodatkowego wynosi 40 mA.